

Utilisation des Graph Neural Networks (GNN) dans le contexte de détection de fraude

Hugo Matijascic, Thomas Fontier,
Polytechnique Montréal
{hugo.matijascic, thomas.fontier}@polymtl.ca

Abstract

Ce document a été rédigé dans le contexte du projet de session pour le cours INF8225: IA. techniques Probabilistes et d'Apprentissage. L'objectif de cet article est de découvrir de nouvelles méthodes et techniques d'apprentissage, ainsi que d'acquérir des connaissances supplémentaires dans divers sujets. Notre choix s'est porté sur l'utilisation des réseaux de neurones en graphe dans la détection et la prédiction de la fraude.

1 Introduction

Avec l'expansion rapide des services numériques et des interactions sociales en ligne, l'analyse des réseaux complexes est devenue essentielle pour comprendre et intervenir dans divers scénarios, tels que les communautés en ligne, les forums souterrains et les systèmes financiers.

Les méthodes traditionnelles, souvent limitées les extractions manuelles de caractéristiques, ne parviennent pas à exploiter pleinement la richesse des données relationnelles et interactionnelles. De plus, elles sont également limitées par la nécessité d'avoir des connaissances expertes dans le domaine pour le choix des caractéristiques. Les réseaux de neurones en graphe (GNN) émergent comme une solution prometteuse pour modéliser ces interactions complexes et dynamiques, offrant ainsi de nouvelles perspectives pour l'identification d'acteurs clés et la détection d'anomalies dans divers contextes.

Notre projet se penche sur l'application des GNN à deux contextes distincts mais complémentaires : la détection d'anomalies (de fraudes) et l'identification des acteurs clés dans des réseaux complexes.

Nous avons sélectionné deux articles de recherche pour guider notre exploration :

1. *A Semi-supervised Graph Attentive Network for Financial Fraud Detection* [1] introduit un modèle semi-supervisé pour améliorer la détection de fraudes dans les services financiers. Le modèle utilise un mécanisme d'attention hiérarchique. En effet, il introduit un premier niveau d'attention au niveau des nœuds (afin de mieux corrélérer les différents voisins dans le graphe ou les différents attributs d'un individu), puis un deuxième

au niveau de la vue (afin de mieux corrélérer différentes vues des données).

2. *Key Player Identification in Underground Forums over Attributed Heterogeneous Information Network Embedding Framework* [2] présente un système d'automatisation de l'analyse de forums de piratage. Ce modèle vise à identifier les acteurs clés de ces sites à partir des relations et interactions entre les différents utilisateurs. Le modèle repose sur l'extraction des caractéristiques importantes des acteurs et l'utilisation d'un réseau multivue pour représenter leurs relations. Le modèle utilise un mécanisme d'attention pour réunir les différentes représentations apprises basées sur les différents graphes du réseau multivue.

En combinant les méthodologies et avancées de ces deux études, notre projet vise à explorer en profondeur les capacités des GNN à modéliser et analyser des réseaux complexes pour différentes applications. Nous commencerons par fournir une explication plus détaillée des architectures des modèles mis en place dans les deux articles, puis nous comparerons les résultats de nos différentes expériences sur les modèles. Enfin, nous apporterons une analyse critique de notre approche d'apprentissage.

2 Réseau de neurones en graphe

Les réseaux de neurones en graphe sont une classe de modèles d'apprentissage opérant sur des structures de données en graphes. Ces derniers sont particulièrement utiles pour résoudre des problèmes complexes qui représentent des relations entre divers éléments. Les GNN (Graph Neural Networks) peuvent apprendre des représentations des nœuds et des liens entre ces derniers, ce qui les rend particulièrement adaptés à des applications telles que la classification, la prédiction ou encore la recommandation dans de nombreux domaines, on peut citer les réseaux sociaux, la biologie et bien d'autres.

La principale idée derrière l'apprentissage par les GNN est de propager l'information à travers les arêtes du graphe pour agréger et mettre à jour les représentations des nœuds. Ce processus s'effectue sur plusieurs couches et plusieurs itérations et permet de capturer certaines informations à différentes échelles. Ainsi, on peut évaluer l'impact d'un nœud du graphe dans un contexte local ou global.

Il existe différents types de GNN, chacun avec ses propres architectures et mécanismes de fonctionnement. Les réseaux convolutifs sur graphes (GCN) sont inspirés des réseaux convolutifs usuels. Les GCN appliquent des opérations de convolution sur les nœuds et leurs voisins dans le graphe. Ce traitement fait ressortir les motifs principaux du réseau en graphe. Les réseaux récurrents sur graphes se basent sur des mécanismes récurrents pour propager les informations le long des arêtes (ex : Tree-LSTM). Les réseaux attentionnels sur graphes (GAT), quant à eux, utilisent le mécanisme d'attention pour pondérer l'importance des voisins sur chaque nœud, permettant une mise à jour adaptative des représentations des nœuds.

Ces différentes architectures de GNN offrent des approches variées pour modéliser et traiter des données structurées sous forme de graphes, chacune présentant ses propres avantages et limitations selon le contexte d'application. Dans notre cas de figure, les GNN sont utilisés pour comprendre les relations complexes entre les entités d'un réseau et prédire la présence de fraude.

3 A Semi-supervised Graph Attentive Network for Financial Fraud Detection

3.1 Contexte

L'objectif de cet article est de proposer une avancée dans les modèles utilisés pour faire de la détection de fraude financière. Lors d'une transaction financière, un premier filtre va être responsable de vérifier des informations générales sur le compte débitant. Ces informations sont directement accessibles par l'organisme de vérification, il ne représente donc pas de défi. Si la transaction ne passe pas le filtre, elle sera refusée, cependant, ne pas être bloqué par le filtre ne signifie pas pour autant que la transaction est légitime. Pour déterminer cela un deuxième filtre est responsable de prédire la légitimité de celle-ci. Ce deuxième filtre va devoir apprendre de données de transactions pour pouvoir ensuite faire une prédiction sur des transactions. Si une transaction est épinglée comme frauduleuse par ce deuxième filtre, alors une investigation humaine aura lieu, celle-ci rendra son verdict qui bloquera ou autorisera la transaction. Finalement, le résultat pourra être fourni au modèle pour lui permettre de s'améliorer.

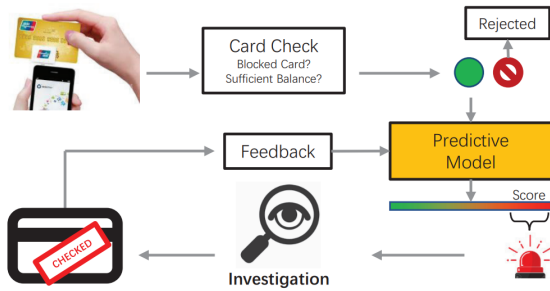


Figure 1: Représentation d'une procédure de détection de fraude financière.

Entraîner un modèle de détection de fraude financière est composé de plusieurs défis :

1. Données non-labelisées : Un grand nombre de transactions financières sont effectuées en permanence. Il est donc théoriquement possible de construire d'énormes jeux de données. Cependant, il est complexe et long d'étiqueter ces jeux de données. En effet, il faut des connaissances expertes pour être capable de classer un jeu de données de transactions. C'est pourquoi le modèle présenté dans l'article est un modèle semi-supervisé, afin de ne pas être limité aux données labélisées mais également profiter des informations contenues dans les données non labélisées.
2. Hétérogénéité des graphes : Il existe deux types de graphes : les graphes hétérogènes et les graphes homogènes. Cette distinction est basée sur les types des nœuds et des arêtes d'un graphe.

Lorsque tous les nœuds et toutes les arêtes sont du même type alors il s'agit d'un graphe homogène. Par exemple, dans un graphe de représentation d'un réseau social, où les nœuds représenteraient les individus et les arêtes les amitiés entre les individus. Alors tous les nœuds seraient du même type (individus), de même pour les arêtes (amitiés).

Lorsque les nœuds ou les arêtes peuvent être de différents types, alors il s'agit de graphes hétérogènes. Ces graphes sont plus complexes à traiter en raison de la diversité des types des nœuds et relations.

Dans le contexte de la fraude, si on souhaite ajouter des informations temporelles, spatiales, etc. alors nous sommes dans un contexte d'hétérogénéité. Le modèle présenté va présenter une solution à ce problème.

3.2 Modèle proposé

Le modèle proposé implémente un mécanisme d'attention hiérarchique. Une attention au niveau des nœuds et une attention au niveau des vues. L'attention au niveau des nœuds va permettre d'apprendre le poids des voisins d'un nœud (source ou réception de la transaction) pour chaque vue. L'attention au niveau des vues va permettre de fournir au modèle les données sous différentes vues, tout en lui permettant d'apprendre comment les interpréter.

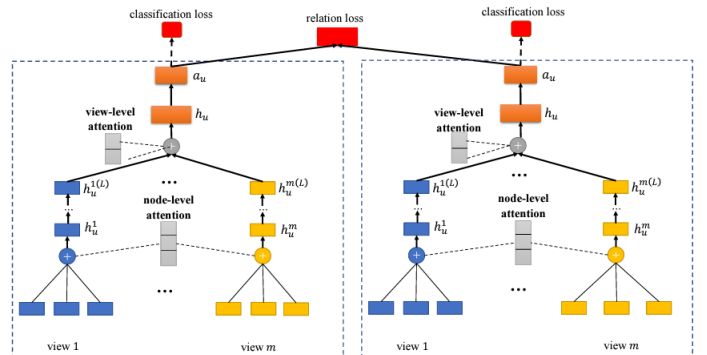


Figure 2: Représentation de l'architecture du modèle proposé.

Comme on peut le voir sur la figure 2, chaque vue est étudiée indépendamment des autres. On obtient l’embedding de chaque noeud en assemblant l’embedding de ses voisins. L’importance α_{ui}^v d’une paire de noeud (u, i) , dans une vue spécifique v et en considérant une matrice d’attention H^v , ainsi que l’embedding pondéré du noeud i comme e_{ui}^v , sera calculée en suivant la formule suivante :

$$\alpha_{ui}^v = \frac{\exp(e_{ui}^v \cdot H_{ui}^v)}{\sum_{k \in N_u^v} \exp(e_{uk}^v \cdot H_{uk}^v)} \quad (1)$$

On obtient ainsi l’embedding d’un noeud dans une vue spécifique de la manière suivante :

$$h_u^v = \sum_{k \in N_u^{(A)}} \alpha_{uk} e_{uk} \quad (2)$$

Comme exposé dans les défis des GNN, combiner les embeddings d’un noeud provenant des différentes vues représente un défi de par l’hétérogénéité du problème. Une solution proposée dans l’article est d’utiliser des MLP, via la formule suivante :

$$h_u^{v(l)} = \text{Relu}(h_u^{v(l-1)} W_l^v + b_l^v) \quad (3)$$

Le mécanisme d’attention au niveau des vues permet d’apprendre l’importance relative de chaque vues et ainsi de mieux comprendre comment associer les différentes vues.

Voici le pseudo-code qui résume le fonctionnement de l’algorithme SemiGNN

Algorithm 1 Training Algorithm for SemiGNN

Input: The multiview graph: $G_v = \{U \cup S^v, E^v\}, v \in \{1, \dots, m\}$. Balancing weight α . Regularizer weight λ .

Output: The model parameters Θ .

- 1: Randomly initialize the model parameters Θ , and attention parameters H^v and ϕ^v .
 - 2: Generate random walk paths according to the relation graph $G^{(U)}$ and construct the user paired set S .
 - 3: **for** each $(u, v) \in S$ **do**
 - 4: **for** each $k \in \{1, \dots, m\}$ **do**
 - 5: Obtain low-level view-specific user embeddings h_u^k and h_v^k by Eq. 2.
 - 6: Obtain high-level view-specific user embeddings $h_u^{k(L)}$ and $h_v^{k(L)}$ by Eq. 3.
 - 7: Obtain view preference vectors a_u^k and a_v^k .
 - 8: **end for**
 - 9: Combine embeddings to obtain a_u and a_v .
 - 10: Compute loss L_{SemiGNN} .
 - 11: Perform backpropagation and update model parameters: $\Theta_{\text{new}} = \Theta_{\text{old}} - \lambda \cdot \frac{\partial L_{\text{SemiGNN}}}{\partial \Theta_{\text{old}}}$.
 - 12: **end for**
 - 13: **return** Θ
-

4 Key Player Identification in Underground Forums over Attributed Heterogeneous Information Network Embedding Framework

Cet article se concentre sur la mise en lumière d’acteurs clés dans les forums de piratage. Les acteurs clés sont définis comme étant les utilisateurs qui jouent un rôle crucial dans le marché des logiciels malveillants et des techniques de piratage.

Le système présenté est composé de plusieurs blocs de traitement utilisés pour faire la collecte de données et l’inférence sur les catégories d’acteurs.

1. Pre-traitement et collecte de données : Des outils de scrapping sont utilisés afin de récolter des données pertinentes sur les forums cibles.
2. Extraction de caractéristiques : Un module est utilisé pour nettoyer le jeu de données récoltes et extraire des caractéristiques importantes.
3. Modélisation des relations : Un algorithme est utilisé pour modéliser les relations entre les données.
4. Représentation multivue : À partir des relations établies, un réseau en graphe multivue est généré. Ce réseau se compose de plusieurs sous-graphes qui représentent une vue du graphe du point de vue d’un utilisateur.
5. Traitement par un GCN : Les différents sous-graphes alimentent des réseaux convolutifs en graphe qui apprennent leurs structures. Un mécanisme d’attention est utilisé pour regrouper les différents résultats.
6. Représentation dans un espace latent : Enfin, la représentation vectorielle finale est un espace latent de noeuds utilisés pour alimenter un classificateur. Ce dernier va alors établir la correspondance avec les classes recherchées : acteurs clés et acteurs secondaires.

Les caractéristiques relationnelles considérées sont les suivantes :

- **user-post-thread**: Une matrice \mathbf{P} où chaque élément $p_{i,j} \in 0, 1$ indique si l’utilisateur i a créé un fil (*thread*) j .
- **user-write-reply**: Une matrice \mathbf{W} où chaque élément $w_{i,j} \in 0, 1$ indique si l’utilisateur i écrit une réponse j .
- **user-make-comment**: Une matrice \mathbf{M} où chaque élément $m_{i,j} \in 0, 1$ indique si l’utilisateur i écrit un commentaire j .
- **thread-belongto-section**: Une matrice \mathbf{B} où chaque élément $b_{i,j} \in 0, 1$ indique si le *thread* i est dans la section j .
- **reply-echo-thread**: Une matrice \mathbf{E} où chaque élément $e_{i,j} \in 0, 1$ indique si la réponse i fait référence au *thread* j .
- **comment-referto-user**: Une matrice \mathbf{R} où chaque élément $r_{i,j} \in 0, 1$ indique si un commentaire i fait référence à l’utilisateur j .

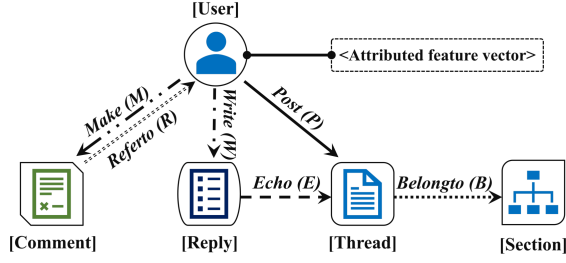


Figure 3: Representation d'un utilisateur et de ses caracteristiques.

A partir de ces caracteristiques, on peut alors représenter le forum comme un réseau où chaque nœud est l'identifiant d'un utilisateur. Ces derniers sont connectés par plusieurs types d'arêtes représentant les différentes caractéristiques relationnelles énoncées plus haut. En partant d'un certain utilisateur, on peut se déplacer sur les arêtes et retrouver un autre utilisateur.

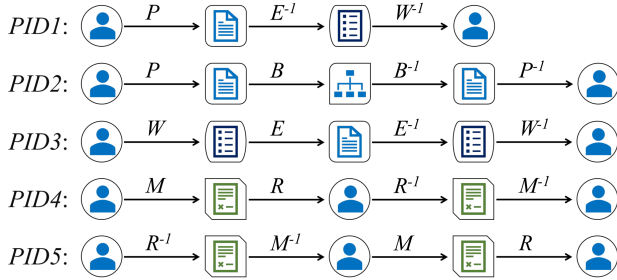


Figure 4: Relations entre les utilisateurs.

Ces différentes caractéristiques sont représentées par un réseau multivue où chaque sous-graphe représente la perspective d'un seul utilisateur du réseau.

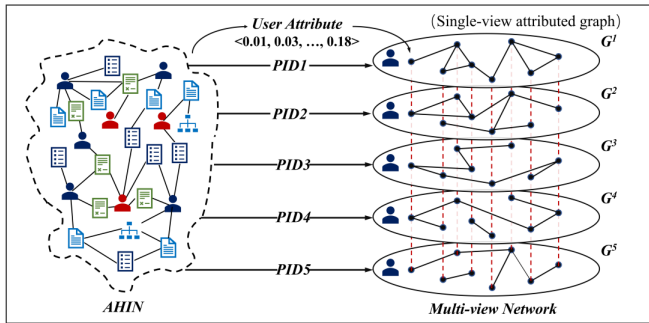


Figure 5: Réseau multivue construit.

Ces réseaux alimentent plusieurs GNN afin d'extraire les représentations importantes de chaque sous-graphe. Les résultats sont regroupés grâce à l'attention et fournis à un classificateur.

5 Experimentations

5.1 Implementations des modeles des articles

Le dataset utilisé est le même que nous avons adapté aux modèles des articles. Nous avons décidé d'utiliser le dataset S-FFSD accessible ici <https://github.com/AI4Risk/antifraud/tree/main/data> [4]. Ce dataset comporte une série de transactions financières entre des acteurs sources *Source* et des acteurs cibles *Target* avec plusieurs informations comme l'index de transaction *Time*, la valeur échangée *Amount*, l'endroit où la transaction a lieu *Location* et le type de transaction *Type*. Il y a aussi les labels décrivant si la transaction représente une fraude ou non. Le nombre D représente le nombre de caractéristiques différentes. Ce qui fait que chaque transaction x est représentée comme un vecteur à D dimensions pour chaque valeur.

Nous avons effectué un prétraitement afin d'optimiser les performances sur nos modèles. En effet, le dataset était grandement déséquilibré en faveur des transactions non-frauduleuses.

- **over-sampling:** Nous avons commencé par un over-sampling sur les transactions financières frauduleuses avec un ratio de 1/2. Cela a permis de réduire le déséquilibre sans pour autant créer un trop grand nombre de données (*thread*) j .
- **under-sampling:** Afin de réduire d'avantage ce déséquilibre nous avons effectué un under-sampling sur les transactions non-frauduleuses avec un ratio de 1.0. Cela a permis d'avoir un équilibre total entre les transactions frauduleuses et non-frauduleuses (*thread*) j .
- **matrices d'adjacences:** Les GNNs sont des réseaux de neurones de graphes, il faut donc fournir des informations au modèle sous format de graphe. Pour cela nous pouvons fournir des matrices d'adjacence. Cela correspond à une matrice qui représente les interactions entre les différents nœuds. Dans le cas des transactions financières, nous avons réalisé une matrice M dans laquelle $M[i][j]$ indique s'il existe une transaction entre le nœud i et le nœud j dans le jeu de données (*thread*) j .
- **matrices d'adjacences pondérées:** Comme expliqué dans le fonctionnement de Semi-GNN, il est possible de lui fournir plusieurs vues pour lui permettre de mieux apprendre. Nous avons donc créé des matrices d'adjacences pondérées par le montant des transactions. Ainsi une matrice M' dans laquelle $M'[i][j]$ indique le montant des transactions entre le nœud i et le nœud j (*thread*) j .

5.2 Recherche d'hyperparametres

Nous avons évalué les performances des modèles en jouant avec certains hyperparamètres.

SemiGNN

Pour le modèle de SemiGNN nous avons décidé d'étudier les impacts des paramètres : de node embedding et de nombre d'époques.

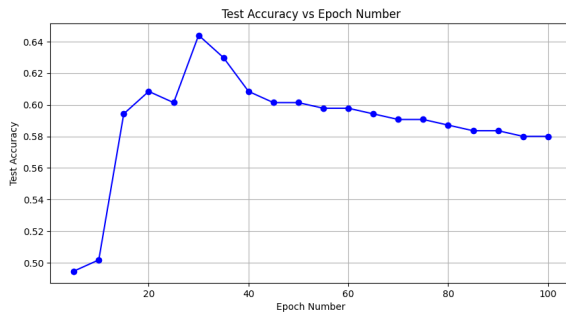


Figure 6: Evolution de l'accuracy en fonction de nombre d'epoch.

Comme on peut le voir, la meilleure valeur de nombre d'epoch sur nos données est de 30, au delà le modèle va faire du sur-apprentissage sur les données d'entraînement et donc moins bien performer sur les données de test, d'où la baisse progressive de l'accuracy de test au delà de 30.

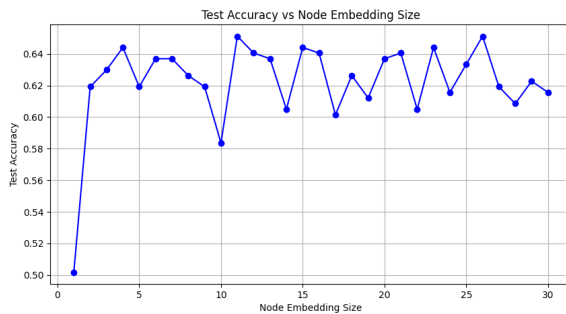


Figure 7: Evolution de l'accuracy en fonction de la taille d'embedding des noeuds.

On remarque qu'une fois une valeur minimale de 5 atteinte, l'accuracy de test ne varie plus, elle reste entre 0.6 et 0.64. Cela s'explique par le fait qu'après une certaine dimension d'embedding, la dimension devient suffisante pour stocker les informations pertinentes d'embedding de noeuds.

Player2Vec

Nous avons aussi évalué le modèle Player2Vec sur son propre dataset. Nous avons donc joué avec certains hyperparamètres du modèle.

Nous pouvons observer que l'accuracy du modèle atteint un maximum aux alentours de 40 epochs et reste assez constante après. On constate une légère diminution au fur et à mesure, certainement due au sur-apprentissage du jeu de données.

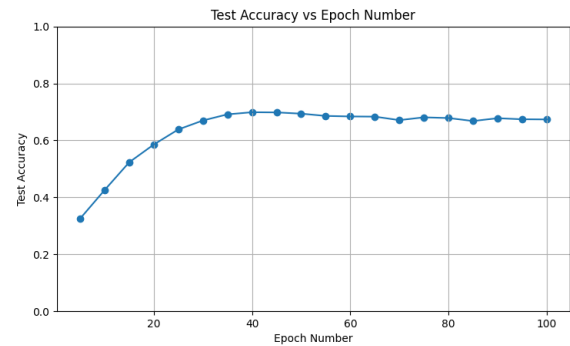


Figure 8: Evolution de l'accuracy du modèle sur un jeu de données de test selon le nombre d'epochs.

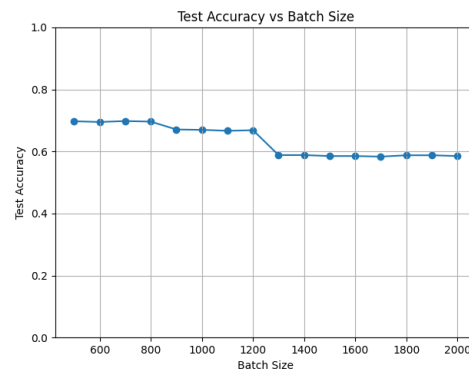


Figure 9: Evolution de la précision du modèle sur un jeu de données de test selon la taille des mini-lots.

L'impact de la taille des mini-lots est très important. On peut voir qu'à partir de 1200, l'accuracy descend subitement de 10%. Nous avons émis une hypothèse sur ce comportement et pensons que la taille trop importante des batchs empêche le modèle d'apprendre suffisamment à chaque itération. Les données sont trop distinctes entre elles pour que le modèle converge efficacement.

5.3 Utilisation d'autres techniques d'apprentissage

Afin de vérifier l'importance de l'utilisation d'un GNN pour traiter des données issues d'un réseau d'acteurs, nous avons décidé de comparer les modèles issus des articles avec d'autres types de modèles d'apprentissage. Pour ce faire, nous avons utilisé deux modèles : un modèle de perceptron à plusieurs couches et un modèle de mélange gaussien.

Mélange Gaussien [7]

Pour le mélange gaussien, nous voulions voir si la détection de fraude pouvait être réduite à un problème d'apprentissage non-supervisé. Afin de répondre à nos questions, nous avons décidé de modéliser le dataset par un mélange gaussien composé de deux distributions gaussiennes multivariées représentées par les populations de données de non-fraude et de fraude. Les deux distributions sont définies comme [8]:

$$p(x|\mu, \Sigma) = \mathcal{N}(\mu, \Sigma) = \frac{1}{\sqrt{(2\pi)^D |\Sigma|}} e^{-\frac{1}{2}(x-\mu)^T \Sigma^{-1} (x-\mu)} \quad (4)$$

avec μ le vecteur des moyennes dans chaque dimension et Σ la matrice de covariance.

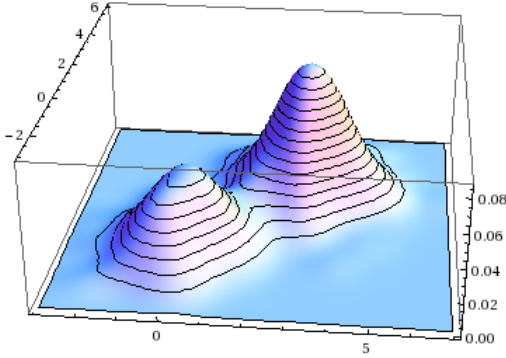


Figure 10: Representation quelconque d'un melange gaussien.

Dans notre cas de figure, afin de modeliser le jeu de donnees nous avons decide de représenter notre modele gaussien avec 2 loi multivariees.

Perceptron multi couches

Le modele de perceptron utilise est un modele de reseau de neurones basique qui peut effectuer des taches de classification, par exemple une evaluation MNIST.

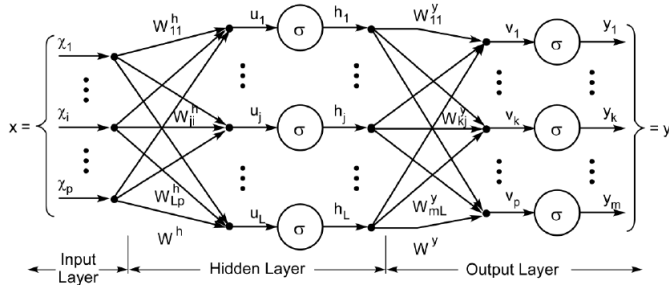


Figure 11: Representation quelconque d'un perceptron multicouche. [6]

Le reseau comporte 2 couches cachees de largeur 10 avec une fonction d'activation *ReLU*. La couche de sortie utilise la fonction *softmax* pour retourner les probabilites associees aux classes a predire [5]:

$$\hat{y} = \text{softmax}(W^{n+1}(\text{ReLU}(W^n(\dots \text{ReLU}(W^0(\tilde{x})))) \quad (5)$$

La fonction objective utilisee est l'entropie croisee :

$$L_{CE} = -\sum_{i=1}^n \tilde{y} \log(\hat{y}) \quad (6)$$

Reseau de neurones en graphe

Nous avons essaye de construire nous-meme un modele de GNN afin de voir si on pouvait reussir a detecter des fraude parmi le meme dataset que celui utilise pour le SemiGNN. Apres quelques recherches, nous avons determine qu'il y avait 2 approches possibles [9].

Parmi les GNN, on trouve les Graph Convolutional Networks (GCN) et les Graph Attention Networks (GAT).

- Graph Convolutional Network: Les GCN sont un type de GNN qui utilise le mecanisme de convolution sur les graphes [10].

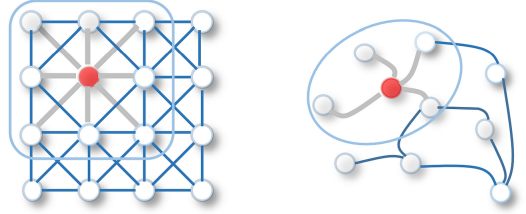


Figure 12: Convolution sur un noeud et ses noeuds adjacents.

Pour un ensemble de N donnees a F caracteristiques d'entree et pour F' classes de prediction:

$$h = \{\vec{h}_1, \vec{h}_2, \dots, \vec{h}_N\}, \vec{h}_i \in \mathbb{R}^F \quad (7)$$

La propagation vers la couche k est de la forme :

$$\vec{h}_i^{(k)} = \sigma(\mathbf{W}^{(k)} \sum_{j \in \mathcal{N}(i) \cup \{i\}} \frac{h_j}{\sqrt{|\mathcal{N}(i)| |\mathcal{N}(j)|}}) \quad (8)$$

avec :

- Matrice de poids : $W \in \mathbb{R}^{F' \times F}$
- Le voisinage du noeud i : \mathcal{N}_i
- Graph Attention Network: Un GAT utilise le mecanisme d'attention pour capturer les relations entre les noeuds du graphe. [11]

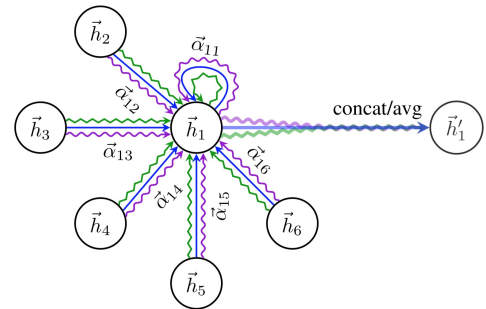


Figure 13: Calcul d'attention sur graphe.

Le calcul d'attention est :

$$\vec{h}_i' = \sigma(\sum_{j \in \mathcal{N}_i} \alpha_{ij} \mathbf{W} \vec{h}_j) \quad (9)$$

avec les coefficients d'attention obtenus par la formule :

$$e_{ij} = \vec{a}^T [\mathbf{W}\vec{h}_i \oplus \mathbf{W}\vec{h}_j] \quad (10)$$

$$a_{ij} = \text{softmax}_j(e_{ij}) = \frac{\exp(e_{ij})}{\sum_{k \in \mathcal{N}_i} \exp(e_{ik})} \quad (11)$$

Afin d'expérimenter avec les GNN, nous avons décidé de modéliser 3 architectures de GNN:

1. GCN: Un réseau en graphe avec 3 couches cachées de convolution.
2. GAT: Un réseau attentionnel en graphe avec une couche cachée d'attention
3. GNN compose: Un réseau en graphe avec 2 couches de convolutions entrelacées de 2 couches d'attention.

La fonction objective utilisée dans chaque modèle est l'entropie croisée et l'optimiseur est Adam. Le taux d'apprentissage est de 0.02.

6 Resultats

Modele	Accuracy
SemiGNN	0.644
SemiGNN _{multi-vue}	1
GCN	0.50
GAT	0.63
GNN _{compos}	0.75
Multilayer Perceptron	0.89
Gaussian Mixture	0.41

Table 1: Comparaison des accuracy obtenues sur un ensemble de données de test sur le dataset S-FFSD.

Nous avons ainsi comparé les performances de 7 modèles. Nous avons utilisé l'accuracy pour les comparer car notre jeu de données, suite au pré-traitement expliqué, était équilibré entre les transactions frauduleuses et non-frauduleuses. Le modèle n'était donc pas influencé à prédire une classe plus qu'une autre et la mesure de l'accuracy reste donc pertinente. SemiGNN correspond au modèle présenté auquel nous avons uniquement fourni une vue, soit la matrice d'adjacence des transactions entre les différentes sources et les différents targets. SemiGNN_{multi-vue} correspond au même modèle, mais auquel nous avons également fourni une matrice d'adjacence pondérée grâce au montant des transactions afin de profiter du mécanisme d'attention entre les vues.

On remarque que le SemiGNN_{multi-vue} performe mieux que le SemiGNN classique. Cela s'explique notamment par le fait qu'il obtient des informations plus riches sur les données, nous lui fournissons plus d'informations sur les liens qui existent entre les différents nœuds du graphe.

Les modèles de GNN semblent assez bien performer. On voit que le GCN performe moins bien que le GAT, ce à quoi nous nous attendions. Le GNN compose de couches de convolution et d'attention a la meilleure accuracy parmi les 3. Pour les autres modèles, nous sommes assez surpris par la performance du MLP. Le mélange gaussien a une performance très mauvaise qui montre qu'il est difficile d'utiliser de l'apprentissage non-supervisé pour la détection de fraude.

7 Critique de l'approche utilisée

Le domaine de la détection de fraude financière est un domaine très varié et en pleine expansion. De plus, il s'agissait d'un sujet très intéressant tant par les modèles utilisés que par le but de détecter les fraudes financières. Cependant, il s'agit également d'un domaine dans lequel les données ne sont pas en libre accès. En effet, les données bancaires sont sensibles et confidentielles. Ce qui nous a posé un défi significatif. Il a été très compliqué de trouver un jeu de données exploitable et compréhensible (certains jeux de données de transactions financières accessibles sont le résultat d'une décomposition en composantes principales ou autres traitements, ce qui rend les données exploitables mais non compréhensibles).

Également, nous étions intéressés par les deux aspects de détection des GNNs, détecter les intrus/fraudes et détecter les acteurs principaux. C'est pourquoi nous nous sommes orientés vers les deux articles présentés dans ce rapport. Cependant, en nous focalisant sur un seul aspect de la détection, nous aurions pu allouer nos ressources différemment. Étudier les deux aspects simultanément a demandé une charge de travail beaucoup plus importante.

8 Conclusion

Nous avons présenté la détection de fraudes dans un contexte moderne, nous avons fait un résumé des travaux antérieurs dans la littérature. Nous avons ensuite expliqué l'intérêt des GNN dans ces contextes relationnels/interactionnels, notamment comment les GNN sont capables d'utiliser les informations de ces interactions, contrairement aux autres méthodes. Nous avons par la suite présenté deux modèles d'articles de recherches. Nous avons expliqué les expérimentations que nous avons mis en place. Finalement nous avons présenté les résultats et avons apporté une analyse critique de l'approche que nous avons utilisée.

References

- [1] Wang, D., Lin, J., Cui, P., Jia, Q., Wang, Z. (2019). A semi-supervised graph attentive network for financial fraud detection. In IEEE International Conference on Data Engineering (ICDE) <https://arxiv.org/pdf/2003.01171.pdf>.
- [2] Zhang, Y., Fan, Y., Ye, Y., Zhao, L., Shi, C. (2019). Key player identification in underground forums over attributed heterogeneous information network embedding framework. Proceedings of the 28th ACM International Conference on Information and Knowledge Management (CIKM) <https://mason.gmu.edu/~lzhao9/materials/papers/lp0110-zhangA.pdf>.
- [3] safe-graph. (n.d.). DG Fraud: [A Python package for fraud detection with deep learning]. Retrieved in April 2024, from <https://github.com/safe-graph/DG Fraud>.
- [4] AI4Risk. (n.d.). AntiFraud data. Retrieved in April 2024, from <https://github.com/AI4Risk/antifraud/tree/main/data>

- [5] GLAZERadr. 2023. Multi Layer Perceptron Using Pytorch from <https://github.com/GLAZERadr/Multi-Layer-Perceptron-Pytorch>
- [6] AILEPHANT. (n.d.). Multilayer Perceptron from <https://ailephant.com/glossary/multilayer-perceptron/>
- [7] Carrasco, O. 2024. Gaussian Mixture Model Explained from <https://builtin.com/articles/gaussian-mixture-model#:~:text=A%20Gaussian%20mixture%20model%20is%20a%20soft%20clustering%20technique%20used,clusters%20in%20a%20data%20set.>
- [8] Looney, O. 2019. ML From Scratch, Part 5: Gaussian Mixture Models from <https://www.oranlooney.com/post/ml-from-scratch-part-5-gmm/>
- [9] OMS1996. 2022. Graph Classification with Graph Neural Networks. from https://github.com/OMS1996/pytorch-geometric/blob/main/3_Graph_Classification.ipynb
- [10] (n.d.). The Graph Neural Network Model. from https://www.cs.mcgill.ca/wlh/grl_book/files/GRL_Book-Chapter_5-GNNs.pdf
- [11] Salehi Y. (n.d.). Graph Attention Networks from <https://cs.mcgill.ca/wlh/comp766/files/yasmin.salehi.pdf>